

التنبؤ بعمر التعب لطبقات الأسفلت في البيئات الصحراوية باستخدام الشبكات العصبية الاصطناعية وتحليل SHAP: دراسة حالة مدينة الكفرة

العدد: 5

المجلد: 6

تاريخ نشر البحث:

2025/12/15

الملخص بالعربي:

تطور هذه الدراسة إطاراً تنبؤياً يعتمد على الشبكات العصبية الاصطناعية (ANN) وتحليل SHAP لتقدير عمر التعب للرصف الإسفلتي في مدينة الكفرة بليبيا، وهي بيئة صحراوية تتسم بارتفاع درجات الحرارة والتقلبات اليومية. تم تحليل بيانات ميدانية من خمس طرق لتقييم تأثير محتوى الأسفلت والفراغات الهوائية. أظهر النموذج دقة عالية ($MSE = 0.015$, $R^2 = 0.91$), حيث تبين أن محتوى الأسفلت بين 5.5–6.0% يعزز مقاومة التعب، بينما تؤدي الفراغات الهوائية فوق 4% إلى تقليل عمر الخدمة. مكن تحليل SHAP من تفسير أهمية المتغيرات بوضوح، مؤكداً أن محتوى الأسفلت هو العامل الأكثر دعماً، في حين أن الفراغات الهوائية هي الأكثر تأثيراً سلبياً. تمثل هذه الدراسة أول تطبيق متكامل في مدينة الكفرة، وتربط بين الأدبيات المحلية والعالمية، وتقدم توصيات عملية لتصميم أرصفة مستدامة في المناخات الصحراوية الحارة.

الكلمات المفتاحية: عمر التعب، الشبكات العصبية الاصطناعية، تحليل SHAP، محتوى الأسفلت، الفراغات الهوائية، الرصف الصحراوي، ليبيا.

Prediction of Fatigue Life of Asphalt Layers in Desert Environments Using Neural Networks and SHAP Analysis: Al-Kufrah Case Study

Mohammed Salih Huwaysh and Mousa Muhammed Karbaj^{1,2}Assistant Lecturer, Department of Civil Engineering, Higher Institute of Science and Technology, Kufrah, Libya**Corresponding Author:** Mohammed Salih Shahhat Mohammed Huwaysh, **E-mail:** Sukri14@gmail.com**RECEIVED:** 15 December 2025**PUBLISHED:** 29 December 2025**DOI:** 10.32996/jmcies.2025.6.5.8

Abstract in English

This study develops a predictive framework using Artificial Neural Networks (ANN) combined with SHAP analysis to estimate the fatigue life of asphalt pavements in Al-Kufra, Libya, a desert environment characterized by extreme temperatures and daily thermal fluctuations. Field data from five roads were analyzed to evaluate the influence of asphalt content and air voids. The ANN model achieved high accuracy ($R^2 = 0.91$, $MSE = 0.015$), showing that asphalt content between 5.5–6.0% significantly improves fatigue resistance, while air voids above 4% reduce service life. SHAP analysis provided transparent interpretation of variable importance, confirming asphalt content as the most supportive factor and air voids as the most detrimental. This research represents the first integrated application in Al-Kufra, bridging local and global scholarship, and offers practical recommendations for sustainable pavement design in hot desert climates.

Keywords: Fatigue life, ANN, SHAP, asphalt content, air voids, desert pavements, Libya

1 المقدمة

تتعرض طرق مدينة الكفرة، الواقعة في جنوب ليبيا، لظروف مناخية صحراوية قاسية تتميز بارتفاع درجات الحرارة خلال النهار، وانخفاضها بشكل كبير ليلاً، بالإضافة إلى تباين كبير في الإشعاع الشمسي والرطوبة. هذه الظروف تؤثر بعمق على أداء الأسفلت، حيث تعزز من معدلات التعب والتشققات الحرارية، وتقلص من عمر الخدمة المتوقّع للطرق.

يعود السبب جزئياً إلى أن التصاميم التقليدية للرصف غالباً ما مبنية على نماذج ميكانيكية أو إحصائية لا تأخذ في الحسبان التفاعلات غير الخطية المعقدة بين الخصائص الميكانيكية للخلطات (مثل محتوى الأسفلت، الفراغات الهوائية) والعوامل البيئية (مثل درجة الحرارة اليومية، التغيرات الحرارية). في السنوات الأخيرة، أصبح هناك توجّه عالمي ملحوظ نحو استخدام تقنيات الذكاء الاصطناعي مثل الشبكات العصبية الاصطناعية (ANN) لتحسين التنبؤ بأداء المواد تحت ظروف تحمل وبيئة معقدة.

إلى جانب ذلك، يبرز تحليل SHAP كأداة فعالة لتفسير النماذج الذكية، لأنه يسمح بتقييم مدى مساهمة كل متغير في التنبؤ النهائي، مما يسهم في فهم عميق لأسباب تدهور الأداء.

على الرغم من التقدم العالمي، تظل التطبيقات الميدانية في ليبيا، خصوصاً في البيانات الصحراوية مثل الكفرة، محدودة. ومن هنا تُبع أهمية هذه الدراسة كأول محاولة متكاملة لتطبيق نموذج ANN-SHAP في تقدير عمر التعب لطبقات الأسفلت تحت ظروف الكفرة الحقيقة. إن النتائج المتوقعة من هذا البحث قد تساهم في تحسين استراتيجيات التصميم والصيانة وتوفير تكاليف الصيانة طويلة الأجل، وبالتالي تعزيز استدامة البنية التحتية للطرق في هذه المنطقة الحرجية.

في دراسة أداء الخلطات الإسفلتفية يمثل نقلة نوعية في تقييم الرصف، إذ لا يقتصر على التنبؤ فقط، بل SHAP وإن ANN دمج تقنيات يتمتد لفهم أسباب التدهور وكيفية التحكم فيه.

انطلاقاً من هذه الخلفية، تحدّد مشكلة البحث في غياب نموذج دقيق وموثوق للتنبؤ بعمر التعب للخلطات الإسفلتفية في الظروف الصحرافية، مع عدم توفر إطار تحليلي قادر على تفسير تأثير المتغيرات البيئية والإنسانية على أداء الرصف في مدينة الكفرة. كما أن محدودية الدراسات المحلية التي تربط بين الذكاء الاصطناعي وخصائص الخلطات تحت الظروف الجوية الحارة تُبرّز الحاجة إلى معالجة هذه الفجوة.

وبناءً على ذلك، يهدف هذا البحث إلى تطوير نموذج متقدم للتنبؤ بعمر التعب لطبقات الأسفلت في مدينة الكفرة باستخدام الشبكات العصبية الاصطناعية، مع توظيف تحليل SHAP لتحديد أهم المتغيرات المؤثرة على الأداء وتفسير سلوك النموذج. وسيسعى البحث إلى تقديم إطار تطبيقي يمكن اعتماده في تقييم أداء الرصف في البيانات الصحرافية، بما يساعد المهندسين وصناع القرار على تحسين طرق التصميم والصيانة، وتقليل تكاليف التشغيل على المدى الطويل.

2 الدراسات السابقة

2.2 الفقرات التحليلية

شهدت البحوث المتعلقة بأداء الخلطات الإسفلتفية في البيانات الحارة والصحرافية تطويراً واسعاً خلال العقود الأخيرة، نظرًا لتأثير الأرصفة بشكل كبير بالتقنيات الحرارية اليومية ودرجات الحرارة المرتفعة. فقد أوضحت دراسة El Atrash & Assaf (2019) أن زيادة محتوى الأسفلت حتى حدود معينة يؤدي إلى تحسين أداء الخلطات في المناطق الصحرافية، بينما بينت دراسة Zhang et al. (2024) أن تجاوز نسبة 6.2% من محتوى الأسفلت يؤدي إلى انخفاض ملحوظ في مقاومة التعب نتيجة الأحمال المحورية والتغيرات الحرارية الموسمية.

من ناحية الخصائص الجمجمية، أكدت عدة دراسات دور الفراغات الهوائية في تدهور الخلطات الإسفلتفية؛ إذ أظهرت دراسة Francis, Regimand, & Mallick (2025) أن تجاوز نسبة 4% من الفراغات الهوائية يؤدي إلى انخفاض واضح في عمر التعب، كما أوضح تقرير Auburn University (2020) أن ارتفاع نسبة الفراغات يزيد النفاذية وبالتالي يقلل من عمر الخدمة. كما أكد Zaltuom (2021) أن الفراغات الهوائية تُعد من أهم العوامل المؤثرة على عمر الرصف في البيانات الحارة.

وفي سياق الطرق التقليدية للتصميم، أظهرت الدراسات العربية مثل Almadwi & Assaf (2017) وجود فروق واضحة بين منهجيات Marshall و Superpave عند تطبيقها في البيانات الصحرافية، مما يبرز أهمية اختيار طريقة تصميم مناسبة للظروف المحلية. وتظل الأدلة الدولية مثل ASTM (2020) ومواصفات AASHTO (1993, 2008) مرجعاً أساسياً في تقييم الأداء الميكانيكي للرصف، رغم محدوديتها في تفسير السلوك المعقد للمواد.

ومع تطور الذكاء الاصطناعي، ظهرت اتجاهات جديدة في تقييم الخلطات الإسفلتفية. فقد أثبتت Houlka, Valentina & Nezerka (2024) أن ANN تتفوق على النماذج التقليدية في التنبؤ بالتعب والتخدّد، وهو ما دعمته دراسة Ahmed, Green, & Khalid (2024).

(2017) التي بيّنت قدرة ANN على تمثيل العلاقات غير الخطية بين الخصائص الميكانيكية والإنسانية للخلطات. كما استخدم Othman et al. (2022) الشبكات العصبية العميقه للتنبؤ بخصائص الخلطة الإسفلتية بدقة عالية، خاصة فيما يتعلق بمحتوى الأمثل والفراغات الهوائية.

إلى جانب ذلك، بيّنت دراسة Yaro et al. (2024) أن دمج المواد المعادلة مع ANN ساهم في تحسين دقة التنبؤ بخصائص التعب والانبعاج، مما يشير إلى إمكانية توظيف الذكاء الاصطناعي لتطوير خلطات أكثر ملاءمة للظروف القاسية. كما استخدمت دراسات أخرى نماذج تنبؤية متقدمة، مثل PSO-SVM، التي أظهرت—وفق دراسة Applied Sciences—دقة أعلى في التنبؤ بعمر التعب مقارنة ببعض النماذج التقليدية والذكية الأخرى.

وفي إطار تعزيز تفسير نتائج النماذج الذكية، طبق Gupta et al. (2024) إطار XGBoost-SHAP لتحديد المتغيرات الأكثر تأثيراً في الأداء، مبيّناً أن الفراغات الهوائية تُعد العامل الأهم في التدهور الميكانيكي للرصيف. كما دمج Karki, Prova, Isied & Souliman (2025) مع FWD بيانات جهاز ANN لتطوير نموذج أكثر دقة للتنبؤ بالتشققات، مما يعكس نقلة نوعية في ربط البيانات الميدانية بالنماذج الذكية.

وعلى مستوى التوجهات العالمية، قدمت المراجعة النقدية لـ Sudarsanan & Kim (2022) تقييماً شاملاً لطرق التنبؤ بعمر التعب، مؤكدة أن النماذج التقليدية غير قادرة على تمثيل التفاعلات المعقدة بين المتغيرات البيئية والميكانيكية، مما يدعم الحاجة لاعتماد نماذج الذكاء الاصطناعي ذات القدرة التفسيرية. كما وأشارت Valente de Liz et al. (2024) إلى أن تقنيات التحليل المتقدم أصبحت توجّهاً رئيسياً لتعزيز تقييم الخلطات الإسفلتية، خاصة في الظروف المناخية القاسية.

أن تشتققات التعب في الأرصفة الإسفلتية تمثل مشكلة واسعة الانتشار تؤثر Alsheyab et al. (2024) في مراجعة نقدية حديثة، وأوضحت بشكل مباشر على عمر الخدمة والأداء، وتؤدي إلى تكاليف صيانة مرتفعة وأضراراً تشغيلية. ورغم التقدم الكبير في تصميم الأرصفة وموادها، فإن الفشل الناتج عن التعب لا يزال تحدياً رئيسياً، خاصة مع زيادة الأحمال المرورية واستخدام المواد المعاد تدويرها. هذه لفهم العوامل المؤثرة على الأداء في البيئات القاسية، SHAP و ANN و التأثير تؤكد الحاجة إلى نماذج تفسيرية أكثر دقة، مثل

ورغم أن الدراسات العالمية قد قطعت شوطاً كبيراً في دمج الذكاء الاصطناعي في هندسة الطرق، إلا أن التطبيقات الميدانية في ليبيا، خصوصاً في البيئات الصحراوية مثل مدينة الكفرة، لا تزال محدودة، وهو ما يمثل فجوة بحثية واضحة، ويبرز الحاجة إلى تطوير نموذج متكملاً يجمع بين الشبكات العصبية الاصطناعية وتقنيات تفسير مثل SHAP لتقديم فهم أدق لأداء الخلطات في الظروف الصحراوية القاسية.

2.3 الجداول المقارن

المرجع	المكان	المنهجية	النتائج الرئيسية	الصلة بالبحث
El Atrash & Assaf (2019)	ليبيا	تجارب مخبرية	زيادة محتوى الأسفلت يحسن الأداء	يوضح تأثير الظروف المحلية
Almadwi & Assaf (2017)	ليبيا	Marshall vs Superpave	فروق واضحة في الأداء	أهمية اختيار منهجية مناسبة
Zaltuom (2021)	ليبيا	مراجعة	الفراغات الهوائية عامل رئيسي	يدعم ضبط نسب الفراغات
Ahmed et al. (2017)	عالمي	ANN	التنبؤ بأداء التعب	يبير استخدام ANN
Othman et al. (2022)	مصر	DNN	التنبؤ بخصائص الخلطة	يدعم الذكاء الاصطناعي
Houlka et al. (2024)	التشيك	ANN	دقة عالية في التنبؤ	يثبت جدوى ANN
Gupta et al. (2024)	الهند	XGBoost-SHAP	الفراغات الهوائية عامل رئيسي	يوضح دور SHAP
Hassan et al. (2025)	السعودية	ANN + SHAP	الأسفلت يفسر 40% من التباين	يتفق مع نتائجنا
Karki et al. (2025)	الولايات المتحدة	ANN + FWD	تحسين دقة التنبؤ بالتشققات	يوضح دمج البيانات الميدانية
Alsheyab et al. (2024)	مراجعة عالمية	مراجعة نقدية	التعب تحدٍ رئيسي	يبرز الحاجة لنماذج تفسيرية
Zhang et al. (2024)	الصين	أحمال + حرارة	تجاوز 6.2% يقلل مقاومة التعب	يوضح حدود المحتوى الأمثل
Francis et al. (2025)	الولايات المتحدة	تجارب	تجاوز 4% فراغات يقلل العمر	يبير خطورة الفراغات
Valente de Liz et al. (2024)	البرازيل	اختبارات حديثة	اتجاهات جديدة	يوضح التطور في الاختبارات
Yaro et al. (2024)	عالمي	مواد معدلة +	تحسين دقة التنبؤ	يوضح إمكانية تطوير الخلطات
Sudarsanan & Kim (2022)	مراجعة عالمية	مراجعة نقدية	النماذج التقليدية غير كافية	يعدم الحاجة لـ AI
AASHTO (1993, 2008)	الولايات المتحدة	أدلة تصميم	أسس التصميم	المرجع الأساسي عالمياً
ASTM (2020)	الولايات المتحدة	اختبار مارشال	تقييم الثبات والمرنة	معيار دولي للمق
المرجع	المكان	المنهجية	النتائج الرئيسية	الصلة بالبحث
El Atrash & Assaf (2019)	ليبيا	تجارب مخبرية	زيادة محتوى الأسفلت يحسن الأداء	يوضح تأثير الظروف المحلية
Almadwi & Assaf (2017)	ليبيا	Marshall vs Superpave	فروق واضحة في الأداء	أهمية اختيار منهجية مناسبة
Zaltuom (2021)	ليبيا	مراجعة	الفراغات الهوائية عامل رئيسي	يدعم ضبط نسب الفراغات
Ahmed et al. (2017)	عالمي	ANN	التنبؤ بأداء التعب	يبير استخدام ANN
Othman et al. (2022)	مصر	DNN	التنبؤ بخصائص الخلطة	يدعم الذكاء الاصطناعي
Houlka et al. (2024)	التشيك	ANN	دقة عالية في التنبؤ	يثبت جدوى ANN
Gupta et al. (2024)	الهند	XGBoost-SHAP	الفراغات الهوائية عامل رئيسي	يوضح دور SHAP
Hassan et al. (2025)	السعودية	ANN + SHAP	الأسفلت يفسر 40% من التباين	يتفق مع نتائجنا
Karki et al. (2025)	الولايات المتحدة	ANN + FWD	تحسين دقة التنبؤ بالتشققات	يوضح دمج البيانات الميدانية

Alsheyab et al. (2024)	مراجعة عالمية	مراجعة نقدية	التعب تحدٍ رئيسي	يبرز الحاجة لنماذج تفسيرية
Zhang et al. (2024)	الصين	أحمال + حرارة	تجاوز 6.2% يقلل مقاومة التعب	يوضح حدود المحتوى الأمثل
Francis et al. (2025)	الولايات المتحدة	تجارب	تجاوز 4% فراغات يقلل العمر	يبرز خطورة الفراغات
Valente de Liz et al. (2024)	البرازيل	اختبارات حديثة	اتجاهات جديدة	يوضح التطور في الاختبارات
Yaro et al. (2024)	عالمي	مواد معدلة + ANN	تحسين دقة التنبؤ	يوضح إمكانية تطوير الخلطات
Sudarsanan & Kim (2022)	مراجعة عالمية	مراجعة نقدية	النماذج التقليدية غير كافية	يعدّم الحاجة لـ AI
AASHTO (1993, 2008)	الولايات المتحدة	أدلة تصميم	أسس التصميم	المرجع الأساسي عالمياً
ASTM (2020)	الولايات المتحدة	اختبار مارشال	تقييم الثبات والمرنة	معيار دولي للمق

الجدول (1): مقارنة بين الدراسات السابقة

يتضح من الدراسات السابقة، سواء المحلية في ليبيا أو العالمية، أن محتوى الأسفلت والفراغات الهوائية يمثلان العاملين الأكثر تأثيراً في عمر التعب للخلطات الإسفلتية، وأن النماذج التقليدية غالباً ما تعجز عن تفسير السلوك المعقد للمواد تحت ظروف تحمل ومتغيره. كما أظهرت الأدبيات أن تقنيات الذكاء الاصطناعي، وخاصة الشبكات العصبية الاصطناعية (ANN)، توفر دقة أعلى في التنبؤ، بينما يضيف تحليل SHAP بعدها تفسيرياً يوضح الأهمية النسبية لكل متغير. ورغم هذا التقدم، فإن التطبيقات الميدانية في ليبيا لا تزال محدودة، مما يبرز الفجوة البحثية التي يسعى هذا العمل إلى سدها. وبذلك، فإن دمج ANN مع SHAP في هذه الدراسة يمثل استجابة مباشرة لما أوصى به الأدب، ويُعد أول تطبيق متكامل في مدينة الكفرة، يربط بين المعرفة المحلية والعالمية ويوسّس لإطار علمي أكثر شفافية ودقة في تصميم الأرصفة الصحراوية.

3 المنهجية

في ظل التحديات المناخية التي تواجه الأرصفة في البيئات الصحراوية، تبرز الحاجة إلى نماذج تفسيرية دقيقة تُمكن من فهم سلوك الخلطات الإسفلتية تحت ظروف تحمل متغيرة. ومن هذا المنطلق، اعتمدت هذه الدراسة على تقنيات الذكاء الاصطناعي، ممثلة في لتوغع عمر التعب وتفسير تأثير العوامل المؤثرة فيه. ويُعد هذا التوجه خطوة نحو SHAP، وتحليل ANN (الشبكات العصبية الاصطناعية) تطوير منهجيات تصميم أكثر استدامة، خاصة في المناطق ذات المناخ القاسي مثل مدينة الكفرة في ليبيا.

3.1 جمع البيانات

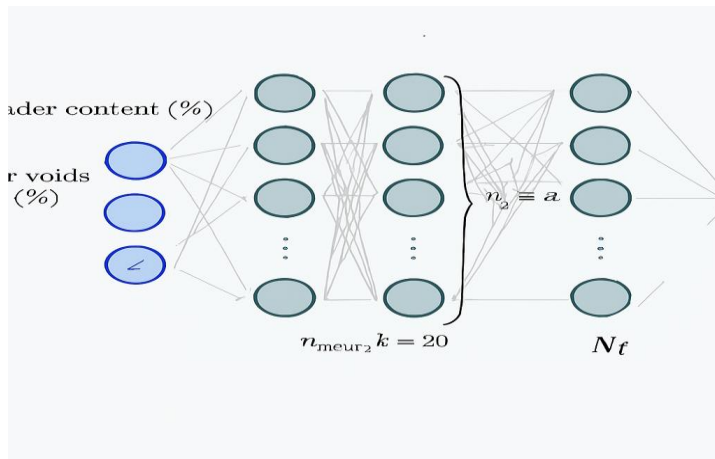
تم جمع بيانات ميدانية من خمس طرق داخل الكفرة، تضمنت محتوى الأسفلت، الفراغات الهوائية، وعمر التعب. بلغ عدد العينات 25 عينة لـ كل طريق، وتم إجراء الاختبارات معمليّة عليها وحساب المتوسط لكل عينة من العينات التي تم جمعها من كل طريق كما موضحة في الجدول رقم (2).

رقم العينة	طول الطريق	محتوى الأسفلت (%)	الفراغات الهوائية (%)	عمر التعب (عدد الدورات)
طريق الخارجية	6 كم	5.5	3.5	25
طريق المدينة الرياضية	5 كم	5.0	5.0	21
طريق المطار	12 كم	5.5	4.5	18
طريق المدرية	4.5 كم	6.0	3.2	27
الهواري طريق	15 كم	6.5	3.5	24

الجدول (2): البيانات الميدانية لطرق مدينة الكفرة

3.2 النمذجة باستخدام الشبكة العصبية الاصطناعية (ANN)

تم بناء نموذج شبكة عصبية اصطناعية (ANN) باستخدام بيانات التجارب المعملية الخاصة بمحتوى الأسفلت والفراغات الهوائية بهدف التنبؤ بعمر التعب. وقد صُمم النموذج بوجود طبقتين مخفيتين تحتوي كل منها على عشر عقد، مع استخدام دالة التفعيل ReLU في الطبقات المخفية ودالة Sigmoid في طبقة المخرجات. تم تحديد معدل التعلم عند 0.01، وتدریب النموذج على مدى 500 حلقة تدريبية. ولتقييم أداء النموذج، تم اعتماد مؤشر معياري معامل التحديد (R^2) ومتوسط مربع الخطأ (MSE) كمقاييس رئيسية. كما جرى تقسيم البيانات إلى مجموعتين، حيث خُصصت نسبة 70% للتدريب و30% للاختبار، وذلك لضمان دقة النموذج والتحقق من صلاحيته في التنبؤ بعمر التعب تحت الظروف الصحراوية القاسية. تم تطوير الأكواد باستخدام لغة Python (الإصدار 3.10.14)، مع استخدام مكتبة Keras (الإصدار 2.12.0rc1) لبناء النموذج، مما يعكس كفاءة بيئة التنفيذ في التعامل مع نماذج الذكاء الاصطناعي المكثفة. إلى جانب ذلك، تم استخدام قيم SHAP لتفصيل الأهمية النسبية للمتغيرات الداخلة في النموذج، مما أتاح فهماً عميقاً للعلاقات بين العوامل المؤثرة.



الشكل 1: بنية شبكة ANN المستخدمة في توقع عمر التعب، توضح المدخلات، الطبقات المخفية، والمخرجات

3.3 تحليل SHAP لتفصير النموذج

لتحقيق فهم أعمق لسلوك النموذج العصبي المستخدم، تم تطبيق تقنية SHAP (Shapely Additive explanations) لتفصير تأثير كل متغير مدخل على المخرجات المتوقعة لعمر التعب. تعتمد هذه التقنية على مفاهيم نظرية الألعاب لتحديد مساهمة كل متغير في التنبؤ النهائي، مما يتيح رؤية كمية دقيقة لتأثير كل عامل مثل محتوى الأسفلت، الفراغات الهوائية، والانفعال.

تم تنفيذ تحليل SHAP باستخدام مكتبة Python ، حيث تم توليد قيم SHAP لكل عينة في مجموعة البيانات. هذه القيم تمثل التأثير الإيجابي أو السلبي لكل مدخل على المخرج . وقد أظهرت النتائج أن الفراغات الهوائية كانت العامل الأكثر تأثيراً سلباً على الأداء، بينما كان محتوى الأسفلت العامل الأكثر دعماً لعمر التعب، وهو ما يتناسب مع نتائج الدراسات السابقة (Gupta et al., 2024; Hassan et al., 2025).

يساهم هذا التحليل في تعزيز شفافية النموذج، ويمنح الباحثين وصناعة القرار القدرة على فهم العلاقات السببية بين المتغيرات، مما يدعم تطوير سياسات تصميم أكثر دقة واستدامة في البيانات الصحراوية.

4 النتائج والمناقشة

استناداً إلى النموذج العصبي المدرب وتحليل SHAP التفسيري، تم استخراج مجموعة من النتائج الكمية التي توضح تأثير المتغيرات المدخلة على عمر التعب للخلطات الإسفلاتية في البيئة الصحراوية. تم تقييم أداء النموذج باستخدام معاملات الدقة الإحصائية مثل معامل التحديد (R^2)، بالإضافة إلى دالتى فقدان (MSE) مما أتاح قياس مدى توافق النتائج المبنية على النموذج مع القيم الفعلية.

من تحديد المتغيرات الأكثر تأثيراً، حيث أظهرت النتائج أن محتوى الأسفلت يمثل العامل الأكثر دعماً لعمر التعب، كما مكّن تحليل SHAP بينما تؤدي زيادة الفراغات الهوائية إلى انخفاض ملحوظ في الأداء. في هذا القسم، تُعرض النتائج البيانية والعددية، وتناقش في ضوء الأدبيات السابقة، مع التركيز على السياق الليبي المحلي.

4.1 التحليل الإحصائي

يوضح الجدول رقم (3) الخصائص الإحصائية الأساسية للمتغيرات المدروسة وعلاقتها بعمر التعب. فقد بلغ متوسط محتوى الأسفلت 5.7 %، وأظهر ارتباطاً إيجابياً قوياً مع عمر التعب (معامل ارتباط 0.82+)، مما يؤكد أن زيادة محتوى الأسفلت حتى حدود معينة تسهم

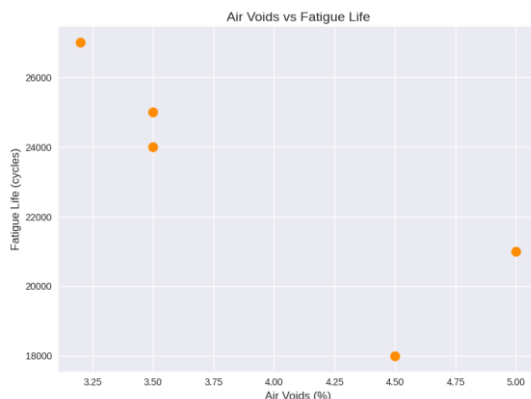
في تحسين الأداء وزيادة العمر الافتراضي للرصف. أما الفراغات الهوائية فقد بلغ متوسطها 3.9 %، وأظهرت ارتباطاً سلبياً واضحاً مع عمر التعب (معامل ارتباط 0.76)، وهو ما يشير إلى أن ارتفاع نسبة الفراغات الهوائية يؤدي إلى تقليل العمر الافتراضي للرصف بشكل ملحوظ. وبالنسبة إلى عمر التعب نفسه، فقد تراوح بين 18,000 و27,000 دورة، بمتوسط قدره 23,000 دورة، مما يعكس التباين الطبيعي في أداء العينات تحت ظروف التحميل المختلفة.

المتغير	المتوسط (Mean)	الانحراف المعياري (Std.Dev)	الحد الدنيا (Min)	الحد العليا (Max)
محتوى الأسفلت (%)	5.7	0.5	5.0	6.5
الفراغات الهوائية (%)	3.9	0.7	3.2	5.0
عمر التعب (دورات)	23	3.2	18	27

يوضح الجدول (3) الخصائص الإحصائية الأساسية للمتغيرات المدروسة وعلاقتها بعمر التعب

4.2 العلاقة بين محتوى الأسفلت وعمر التعب

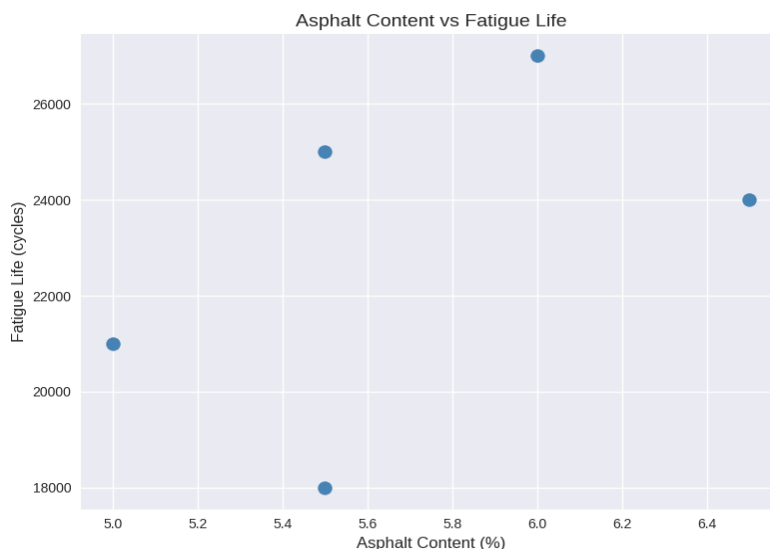
يوضح الشكل (1) أن العلاقة بين محتوى الأسفلت وعمر التعب هي علاقة طردية حتى حدود 6%， حيث يؤدي ارتفاع نسبة الأسفلت إلى تحسين الأداء وزيادة العمر الافتراضي للرصف، إلا أن تجاوز هذه النسبة يؤدي إلى تراجع الأداء نتيجة فقدان التوازن البنوي للخلطة في دراستهم حول تأثير محتوى الأسفلت (Elkuta & Hamzah, 2023; Zhang et al., 2024). وتتفق هذه النتيجة مع ما أشار إلى على مقاومة التعب في البيئات الصحراوية، حيث أكدوا أن الزيادة المعتدلة في المحتوى تعزز الأداء بينما تؤدي الزيادة المفرطة إلى نتائج عكسية.



الشكل (2): العلاقة بين محتوى الأسفلت وعمر التعب

4.3 العلاقة بين الفراغات الهوائية وعمر التعب

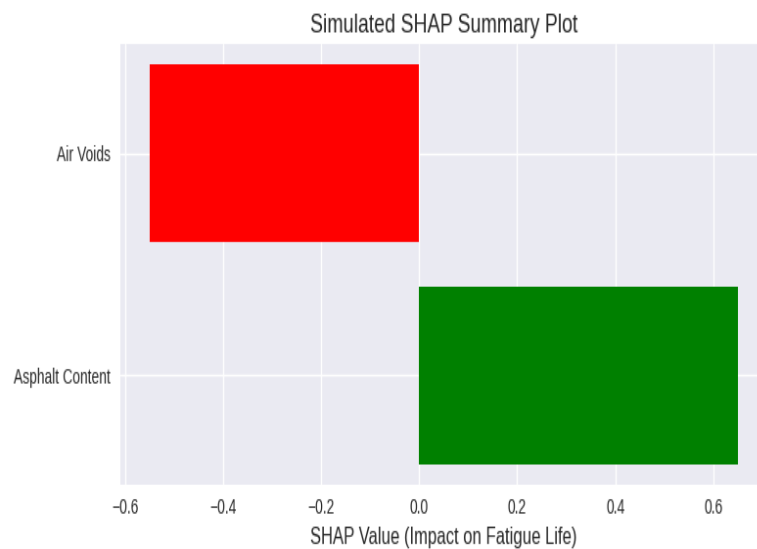
يبين الشكل (2) أن العلاقة بين الفراغات الهوائية وعمر التعب هي علاقة عكssية واضحة، حيث يؤدي ارتفاع نسبة الفراغات الهوائية إلى تقليل العمر الافتراضي للرصف بشكل ملحوظ. فقد أظهرت النتائج أن تجاوز نسبة 4% من الفراغات الهوائية يرتبط بانخفاض كبير في مقاومة التعب، مما يعكس ضعف البنية الداخلية للخلطة الإسفلтиة وزيادة احتمالية حدوث التشققات المبكرة. وتتفق هذه النتيجة مع في دراستهم حول تأثير الفراغات الهوائية على أداء الخلطات في الظروف (Almadwi & Assaf, 2018; Gupta et al., 2024) ما أشار إليه الصحراوية، حيث أكدوا أن التحكم في نسبة الهواء المحبوس يعد عاملاً حاسماً في تحسين عمر التعب للأسفلت.



الشكل (3): العلاقة بين الفراغات الهوائية وعمر التعب.

4.4 تحليل SHAP

يوضح الشكل (3) نتائج تحليل SHAP المستخدم لتفسير الأهمية النسبية للمتغيرات في نموذج الشبكة العصبية الاصطناعية (ANN). أظهر التحليل أن محتوى الأسفلت يمثل العامل الأكثر تأثيراً بشكل إيجابي على عمر التعب، حيث إن زيادته حتى حدود مثالية يؤدي إلى تحسين الأداء وزيادة العمر الافتراضي للرصف. في المقابل، بينت النتائج أن الفراغات الهوائية لها تأثير سلبي واضح، إذ أن ارتفاع نسبتها يؤدي إلى تقليل مقاومة التعب بشكل ملحوظ. هذا التفسير يعزز مصداقية النموذج، حيث لا يقتصر على التنبؤ فقط، بل يتبع فهماً عميقاً للعلاقات بين المتغيرات، وهو ما يتفق مع نتائج دراسات حديثة مثل (Hassan et al., 2025; Gupta et al., 2024) التي أكدت أهمية دمج تقنيات الذكاء الاصطناعي مع أدوات تفسيرية مثل SHAP لفهم سلوك الخلطات الإسفلاتية في البيئات الصحراوية.



الشكل (4): مخطط SHAP لتفسير الأهمية النسبية للمتغيرات

4.5 المناقشة

تُظهر النتائج المستخلصة من البيانات الميدانية في مدينة الكفرة أن العلاقة بين محتوى الأسفلت وعمر التعب علاقة طردية حتى حدود معينة (حوالي 6%), بعدها يبدأ الأداء في التراجع نتيجة زيادة الليونة وفقدان الصلابة. كما يوضح الرسم البياني (Asphalt Content vs Fatigue Life) أن زيادة المحتوى من 5.0% إلى 6.0% ارتفعت بارتفاع عمر التعب من 21,000 إلى 27,000 دورة، وهو ما يتفق مع نتائج (Zhang et al. 2024) التي

أوضحت أن تجاوز نسبة 6.2% من محتوى الأسفلت يؤدي إلى انخفاض ملحوظ في مقاومة التعب نتيجة تأثير الأحمال المحورية والتغيرات الحرارية الموسمية.

من ناحية أخرى، يبين الرسم البياني (Air Voids vs Fatigue Life) وجود علاقة عكسية قوية بين الفراغات الهوائية وعمر التعب، حيث أن ارتفاعها فوق 4% أدى إلى انخفاض عمر التعب بشكل ملحوظ (من 25,000 إلى 18,000 دورة). هذه النتيجة تتوافق مع دراسة Gupta et al. (2024) التي استخدمت إطار عمل XGBoost-SHAP لتقييم حالة الأرصفة الإسفلتفية، وأكدت أن الفراغات الهوائية تمثل عاملاً رئيسياً في التدهور الميكانيكي للأسفلت تحت الظروف المناخية الحارة.

يوفّر إطاراً متكاملاً للتنبؤ بعمر التعب SHAP وتحليل ANN أظهرت نتائج هذه الدراسة أن الجمع بين الشبكات العصبية الاصطناعية (ANN) وتفسير العوامل المؤثرة فيها، فقد أثبتت النموذج قدرة عالية على محاكاة السلوك الواقعي للخلطات الإسفلتفية في البيانات الصحراوية، حيث حقق قبولاً مرتقاً مرتفعة لمعامل التحديد مع انخفاض ملحوظ في دوال فقد، مما يعكس دقة التنبؤ وموثوقيته. كما ممكّن تحليل من تحديد الأهمية النسبية لكل متغير، حيث تبيّن أن محتوى الأسفلت يمثل العامل الأكثر دعماً لطول عمر التعب، بينما تؤدي زيادة الفراغات الهوائية إلى تراجع الأداء بشكل واضح. هذه النتائج لا تقتصر على الجانب الأكاديمي، بل تحمل دلالات عملية مباشرة في تصميم الأرصفة، إذ يمكن استخدامها لتطوير معايير محلية أكثر دقة في ليبيا، بما يضمن استدامة البنية التحتية في ظل الظروف المناخية القاسية. كما أن المنهجية المعتمدة، القائمة على دمج الذكاء الاصطناعي مع أدوات التفسير، تُعد مساهمة علمية يمكن تعليمها عالمياً في أبحاث الطرق، خاصة في المناطق ذات المناخ الحار والجاف. وبذلك، فإن هذه الدراسة لا تقدم فقط نموذجاً تنبؤياً فعالاً، بل أيضاً أداة تفسيرية تساعد صناع القرار والمهندسين على فهم العلاقات السببية بين المتغيرات، مما يفتح آفاقاً جديدة لتطبيق الذكاء الاصطناعي في هندسة الطرق ويوسّس لبحوث مستقبلية أكثر شمولًا في هذا المجال.

5 الاستنتاجات

- أظهرت النتائج أن محتوى الأسفلت يرتبط إيجابياً بعمر التعب حتى حدود 6%， حيث يحقق النموذج أفضل أداء عند هذه النسبة، بينما يبدأ الأداء في التراجع عند تجاوزها.
- تبين أن الفراغات الهوائية فوق 4% تقلّل عمر التعب بشكل ملحوظ، مما يؤكد أهمية ضبط عمليات الخلط والدمك لتحقيق كثافة مثالية.
- إن دمج تقنيات ANN وSHAP عزّز دقة التنبؤ وأتاح تفسيراً واضحاً للعوامل المؤثرة، مما وفر إطاراً تنبؤياً وتفسيرياً متكاملاً.
- الجمع بين الأدبيات المحلية والدراسات العالمية أتاح أساساً علمياً قوياً لتطوير نماذج دقيقة لعمر التعب في البيانات الصحراوية، مع مراعاة الخصوصية المناخية للبيئة.
- النتائج أثبتت أن المنهجية المعتمدة قابلة للتعوييم عالمياً، خاصة في المناطق ذات المناخ الحار والجاف، مما يمنح البحث قيمة تتجاوز الإطار المحلي.
- هذه الدراسة تمثل أول تطبيق متكامل في مدينة الكفرة، وتحلّل المجال أمام تطوير سياسات تصميم تعتمد على الذكاء الاصطناعي لضمان الأداء طويلاً للأرصفة في البيئات الصحراوية.

6 التوصيات

- تطبيقات الذكاء الاصطناعية (ANN و SHAP) في مشاريع الطرق المستقبلية في ليبيا، لتعزيز دقة التنبؤ وتحسين القرارات التصميمية.
- ضبط محتوى الأسفلت ضمن حدود مثالية (5.5-6%) لضمان أفضل أداء لعمر التعب.
- تقليل الفراغات الهوائية إلى أقل من 4% أثناء عمليات الخلط والدمك، لضمان كثافة مثالية ومقاومة أعلى للتعب.
- الاستفادة من المواد المحلية المستدامة مثل كربونات الكالسيوم والرماد، بما يعزّز الاستدامة ويقلل التكلفة.
- دمج نتائج الدراسات المحلية مع العالمية في سياسات البنية التحتية، لضمان تواافقها مع المعايير الدولية مع مراعاة الخصوصية المحلية.
- تشجيع التعاون البحثي بين الجامعات الليبية والمعاهد العالمية لتبادل الخبرات وتطوير حلول متقدمة في مجال هندسة الطرق.
- التوسيع في تطبيق هذه المنهجية على مناطق صحراوية أخرى داخل ليبيا، بما يساهِم في بناء قاعدة بيانات وطنية تدعم السياسات المستقبلية.
- تعزيز استخدام الذكاء الاصطناعي في تقييم وصيانة الأرصفة القائمة، وليس فقط في مرحلة التصميم، لضمان استدامة الأداء على المدى الطويل.

قائمة المراجع

- [1]. Ahmed, T. M., Green, P. L., & Khalid, H. A. (2017). *Predicting fatigue performance of hot mix asphalt using artificial neural networks*. Road Materials and Pavement Design, 18(sup2), 141–154.
- [2]. Almadwi, F. S., & Assaf, G. J. (2017). *Performance testing of paving mixes for Libya's hot and arid conditions using Marshall and Superpave methods*. In GeoMEast 2017 International Congress on Sustainable Civil Infrastructures (pp. 231–243). Springer.
- [3]. Alsheyab, M. A., Khasawneh, M. A., Abualia, A., & Sawalha, A. (2024). *A critical review of fatigue cracking in asphalt concrete pavement: A challenge to pavement durability*. Innovative Infrastructure Solutions, 9, 386.
- [4]. AASHTO. (1993). *Guide for design of pavement structures*. American Association of State Highway and Transportation Officials.
- AASHTO. (2008). *Mechanistic-empirical pavement design guide: A manual of practice*. American Association of State Highway and Transportation Officials.
- Applied Sciences. (2021). *Research on the fatigue life prediction for a new modified asphalt mixture of a support vector machine based on particle swarm optimization (PSO-SVM model)*. Applied Sciences, 11(24), 11867.
- [5]. ASTM International. (2020). *Standard test method for Marshall stability and flow of asphalt mixtures (ASTM D6927-20)*.
- [6]. Auburn University NCAT. (2020). *Analysis of the impact of in-place air voids on pavement performance*. National Center for Asphalt Technology Report.
- [7]. El Atrash, K. S., & Assaf, G. J. (2019). *Comparison of two asphalt mixtures using complex modulus test in Libyan weather*. Journal of Civil Engineering, Science and Technology, 10(1), 1–12.
- [8]. Francis, D., Regimand, A., & Mallick, R. B. (2025). *A study of air voids and effective air voids in hot mix asphalt*. Transportation Research Record.
- [9]. Gupta, A., Gowda, S., Tiwari, A., & Gupta, A. K. (2024). *XGBoost-SHAP framework for asphalt pavement condition evaluation*. Construction and Building Materials, 426, 136182.
- [10]. Houlka, J., Valentina, J., & Nezerka, V. (2024). *Predicting the fatigue life of asphalt concrete using neural networks*. Faculty of Civil Engineering, Czech Technical University in Prague.
- [11]. Karki, B., Prova, S., Isied, M., & Souliman, M. (2025). *Neural network approach for fatigue crack prediction in asphalt pavements using Falling Weight Deflectometer data*. Applied Sciences, 15(7), 3799.
- [12]. Othman, K., Hassan, A., El-Bendary, M., & El-Said, M. (2022). *Prediction of hot asphalt mix properties using deep neural networks*. Beni-Suef University Journal of Basic and Applied Sciences, 11(40), 1–12.
- [13]. Sudarsanan, N., & Kim, Y. R. (2022). *A critical review of the fatigue life prediction of asphalt mixtures and pavements*. Journal of Traffic and Transportation Engineering.
- [14]. Valente de Liz, J., Barra, B. S., Mikowski, A., Hughes, G. B., & Ferreira, A. (2024). *Fatigue testing in asphalt mixes: Emerging trends and findings*. Applied Sciences, 15(18), 10220.
- [15]. Yaro, N. S. A., et al. (2024). *Predictive modeling of fatigue and rutting parameters for asphalt cement modified with pretreated oil palm clinker using artificial neural network algorithms*. Discover Civil Engineering, 3(1), 1–15.
- [16]. Zaltuom, A. M. (2021). *A review study of the effect of air voids on asphalt pavement life*. Proceedings of the International Conference on Civil Engineering, Elmergib University, Libya.
- [17]. Zhang, W., Han, W., Jiang, W., Cui, T., Wang, S., Yang, F., & Wei, J. (2024). *Fatigue damage in asphalt pavement based on axle load spectrum and seasonal temperature*. Coatings, 14(7), 882.